

# Sintesis Nanopartikel Magnetite ( $Fe_3O_4$ ) dengan Template silika ( $SiO_2$ ) dan Karakterisasi Sifat Kemagnetannya.

**Suryani Taib<sup>1</sup>, dan Edi Suharyadi<sup>1,\*</sup>**

<sup>1</sup>Laboratorium Fisika Material dan Instrumentasi, Jurusan Fisika, Fakultas MIPA,  
Universitas Gadjah Mada, Sleman, Yogyakarta, Indonesia

<sup>1\*</sup> esuharyadi@ugm.ac.id

<sup>1</sup>email: surytaib@gmail.com

Received 30-05-2014, Revised 28-11-2014, Accepted 3-12-2014, Published 30-04-2015

## ABSTRACT

Nanoparticles of magnetite ( $Fe_3O_4$ ) have been successfully synthesized by coprecipitation method by mixing  $FeSO_4 \cdot 7H_2O$  and  $FeCl_3 \cdot 6H_2O$  with the addition of 10%  $NH_4OH$  as kopresipitan. Then, functionalized  $Fe_3O_4$  concentration variation silica ( $SiO_2$ ) 5%, 10%, 15%, 20%, 30% and 50%. Particle size and magnetic properties of  $Fe_3O_4$  nanoparticles were tested by X-Ray Diffraction (XRD) and Vibrating Sample Magnetometer (VSM). XRD results showed the addition of silica is not found new phases when added  $SiO_2$  that serves as a template. The particle size of  $Fe_3O_4$  nanoparticles obtained 14.23 nm, while the  $Fe_3O_4$  nanoparticles with the addition of a concentration of 5% and 20% respectively  $SiO_2$  15.45 nm and 16.37 nm. VSM results show the value of saturation magnetization and remanent magnetization decreased as more silica concentration, and increased coercivity field. Test Results of Fourier Transform Infra Red (FTIR) obtained new peaks which indicate that the functionalization process  $Fe_3O_4$  with silica has been successfully carried out.

Keywords: nanoparticles,  $Fe_3O_4$ , co-presipitation , $SiO_2$ , template

## ABSTRAK

Nanopartikel magnetite ( $Fe_3O_4$ ) telah berhasil disintesis melalui metode kopresipitasi yaitu dengan mencampurkan  $FeSO_4 \cdot 7H_2O$  dan  $FeCl_3 \cdot 6H_2O$  dengan penambahan  $NH_4OH$  10% sebagai kopresipitan. Kemudian,  $Fe_3O_4$  difungsionalisasi variasi konsentrasi silika ( $SiO_2$ ) 5%, 10%, 15%, 20%, 30% dan 50%. Ukuran partikel dan sifat kemagnetan nanopartikel  $Fe_3O_4$  diuji dengan X-Ray Diffraction (XRD) dan Vibrating Sample Magnetometer (VSM). Hasil XRD menunjukkan dengan penambahan silika tidak ditemukan fasa-fasa baru ketika ditambahkan  $SiO_2$  sehingga berfungsi sebagai template. Ukuran partikel nanopartikel  $Fe_3O_4$  diperoleh 10,23 nm, sedangkan nanopartikel  $Fe_3O_4$  dengan penambahan konsentrasi 5 % dan 20 %  $SiO_2$  masing-masing 11,45 nm dan 12,37 nm. Hasil VSM menunjukkan nilai magnetisasi saturasi dan magnetisasi remanen menurun seiring dengan semakin banyak konsentrasi silika, dan medan koersivitas meningkat. Uji Hasil dari Fourier Transform Infra Red (FTIR) didapatkan puncak-puncak baru yang menunjukkan bahwa proses fungsionalisasi  $Fe_3O_4$  dengan silika telah berhasil dilakukan.

Kata kunci: nanopartikel,  $Fe_3O_4$  , metode kopresipitasi,  $SiO_2$ , template.

## PENDAHULUAN

Nano partikel magnetik telah menjadi material menarik yang dikembangkan karena sifatnya yang terkenal dan sangat potensial dalam aplikasinya dalam berbagai bidang. Nanopartikel

berbasis  $\text{Fe}_3\text{O}_4$  telah secara luas digunakan dalam imobilisasi dan pemisahan protein atau enzim.

Selain itu juga digunakan untuk menghilangkan katalis, dan unsur-unsur beracun dari limbah industri sedangkan nanomagnetik film secara luas digunakan dalam perangkat listrik dan elektronik, sensor, penyimpanan digital yang memiliki kerapatan tinggi, dan melindungi elektromagnetik. Selain itu magnetit film juga telah banyak dipelajari dan diterapkan dalam tumor *hyperthermia* sebagai perantara yang memandu medan magnet untuk melokalisasi terapi radioaktif dan obat-obatan<sup>1-2</sup>.

Metode dalam sintesis nanopartikel magnetik banyak sekali, diantaranya hidrolisis, mikroemulsi dan kopresipitasi. Metode ini merupakan salah satu metode sintesis senyawa anorganik yang didasarkan pada pengendapan lebih dari satu substansi secara bersama-sama ketika melewati titik jenuhnya. Kelebihan lain dari metode kopresipitasi yaitu menggunakan suhu kamar dan mudah mengontrol ukuran partikel sehingga waktu yang dibutuhkan relatif lebih singkat<sup>3</sup>.

Pentingnya proses fungsionalisasi nanopartikel dengan penambahan bahan kimia lain seperti  $\text{SiO}_2$  adalah untuk mengontrol ukuran dan struktur pori  $\text{Fe}_3\text{O}_4$ . Setelah sintesis  $\text{Fe}_3\text{O}_4$  kemudian difungsionalisasi dengan  $\text{SiO}_2$  yang didasarkan pada sifat biokompatibel, non-toksik, bersifat inner, amorf dan area permukaan yang luas. Fungsionalisasi adalah sebuah proses memodifikasi partikel melalui permukaannya sehingga dapat ditinjau ulang ukuran partikel, sifat kemagnetannya, dan struktur kristal<sup>4-7</sup>.

Pada penelitian ini dilakukan sintesis dan karakterisasi nanopartikel  $\text{Fe}_3\text{O}_4$  template  $\text{SiO}_2$ , kemudian dikarakterisasi dengan *X-Ray Diffraction* (XRD), *Vibrating Sample Magnetometer* (VSM), dan *Fourier Transform Infra Red* (FTIR), yang bertujuan untuk mengetahui pengaruh sifat kemagnetan Magnetite ( $\text{Fe}_3\text{O}_4$ ) penambahan silika sebagai *template* terhadap ukuran butir, struktur kristal dan gugus fungsi.

## METODE PENELITIAN

### Sintesis $\text{Fe}_3\text{O}_4$

Dalam sintesis nanopartikel  $\text{Fe}_3\text{O}_4$  ini menggunakan metode kopresipitasi. Bahan utama  $\text{FeSO}_4 \cdot 7\text{H}_2\text{O}$  dan  $\text{FeCl}_3 \cdot 6\text{H}_2\text{O}$  dengan perbandingan massa 4,170 g dan 8,109 g dimasukkan ke dalam 30 ml  $\text{H}_2\text{O}$  (aquades). Selanjutnya, ke dalam larutan tersebut ditambahkan 60 ml larutan  $\text{NH}_4\text{OH}$  10 % secara perlahan dan diaduk diatas magnetik stirrer dengan kecepatan aduknya 450 rpm, selama 90 menit pada suhu 60 °C. Larutan  $\text{Fe}_3\text{O}_4$  kemudian dicuci dengan aquades sampai bau dari  $\text{NH}_4\text{OH}$  hilang. Setelah itu dilakukan proses pengendapan terhadap  $\text{Fe}_3\text{O}_4$ . Pengendapan dilakukan dengan menggunakan bantuan medan magnet eksternal (magnet permanen) agar proses pengendapan dapat dilakukan dengan lebih cepat dan efektif. Sampel  $\text{Fe}_3\text{O}_4$  yang telah dicuci selanjutnya dikeringkan di dalam furnace pada suhu 80 °C sekitar 3 jam.

### Pecampuran $\text{Fe}_3\text{O}_4$ +Silika

Nanopartikel  $\text{Fe}_3\text{O}_4$  divariasikan dengan konsentrasi  $\text{SiO}_2$  yang berbeda-beda. Prekusor yang dipakai untuk silika yaitu *Sodium Silicate Solution* ( $\text{Na}_2\text{SiO}_3$ ). Dimulai dengan mencampurkan  $\text{Na}_2\text{SiO}_3$  dengan  $\text{H}_2\text{O}$  selama 10 menit di atas stirrer dengan *temperature room* (suhu ruangan) setelah itu  $\text{Fe}_3\text{O}_4$  dimasukkan dalam larutan selama 5 jam, kemudian larutan diendapkan dengan bantuan magnet permanen dan dicuci dengan Aquades sampai tidak bau. Endapan yang diasiklan dikeringkan. Sampel yang kering kemudian dianalisis ukuran butir, struktur

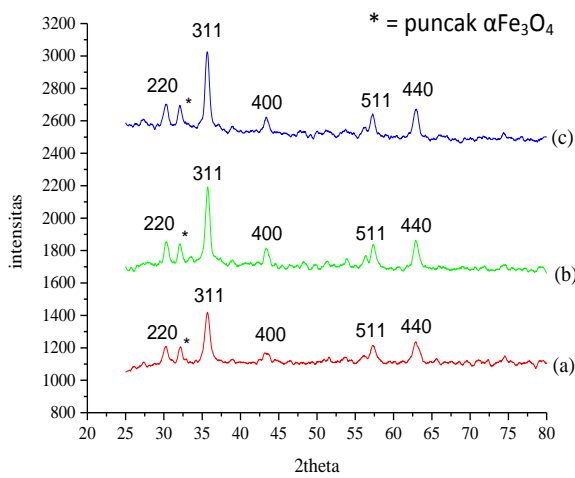
kristal, dan sifat kemagnetannya menggunakan *X-Ray Diffraction* (XRD), *Fourier Transform Infra Red* (FTIR), dan *Vibrating Sample Magnetometer* (VSM). Parameter variasi  $\text{SiO}_2$  dapat dilihat pada tabel 1 sebagai berikut:

Tabel 1. Nanopartikel  $\text{Fe}_3\text{O}_4$  dengan variasi konsentrasi  $\text{SiO}_2$  (%)

Sampel	$\text{Fe}_3\text{O}_4 : \text{Larutan Na}_2\text{SiO}_3$
U	0,800 g : 5% $\text{Na}_2\text{SiO}_3$ 20 ml SS + 20 ml $\text{H}_2\text{O}$
T	0,800 g : 10% $\text{Na}_2\text{SiO}_3$ 12 ml SS + 28 ml $\text{H}_2\text{O}$
S	0,800 g : 15% $\text{Na}_2\text{SiO}_3$ 8 ml SS + 32 ml $\text{H}_2\text{O}$
R	0,800 g : 20% $\text{Na}_2\text{SiO}_3$ 6 ml SS + 34 ml $\text{H}_2\text{O}$
Q	0,800 g : 30% $\text{Na}_2\text{SiO}_3$ 4 ml SS + 36 ml $\text{H}_2\text{O}$
P	0,800 g : 50% $\text{Na}_2\text{SiO}_3$ 2 ml SS + 38 ml $\text{H}_2\text{O}$

## HASIL DAN PEMBAHASAN

Penyebab semakin kristalin karena  $\text{SiO}_2$  memiliki sifat fisis dari  $\text{SiO}_2$  yang sukar larut dalam asam, inert, dan amorf,  $\text{SiO}_2$  juga berfungsi sebagai pelapis yang berguna untuk menghalangi partikel agar tidak teragregasi dan mudah terdispersi dalam media cair, dan Silika memiliki gugus silanol bebas dan gugus siloksan yang diketahui mampu mengadsorpsi ion logam keras. Pada proses fungsionalisasi ini apabila terdapat gugus silanol dalam jumlah besar pada permukaan partikel akan menjadikan partikel mudah diaktivasi dengan berbagai gugus fungsional. Berdasarkan hasil analisis menggunakan program *Origin 9* bahwa sampel tidak ditemukan juga adanya fasa  $\text{SiO}_2$  dalam sampel. Hal ini berarti  $\text{SiO}_2$  tidak ikut bereaksi dan hanya bertindak sebagai *template*.

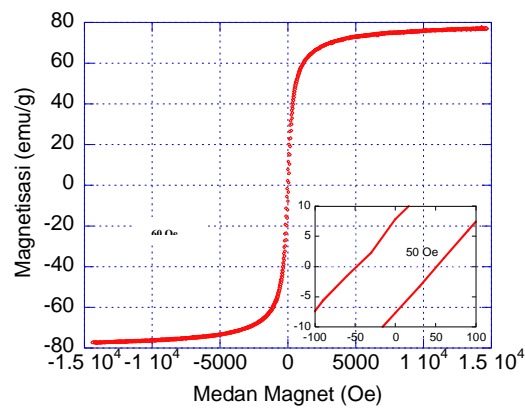


Gambar 1. Hasil perbandingan XRD (a) sampel  $\text{Fe}_3\text{O}_4$  (b) sampel  $\text{Fe}_3\text{O}_4 + \text{SiO}_2$  20%, (c) sampel  $\text{Fe}_3\text{O}_4 + \text{SiO}_2$  5%

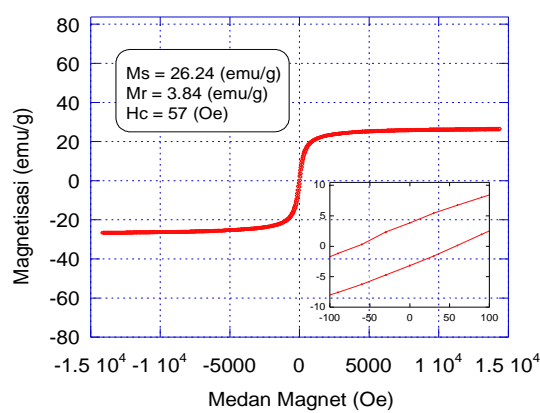
Pada Tabel 2, ditunjukkan ukuran kristal ( $t$ ), jarak antar bidang ( $d$ ), dan tetapan kisi ( $a$ ) dari sampel  $\text{Fe}_3\text{O}_4$ , dengan penambahan  $\text{SiO}_2$  5 % (sampel U), dan 20% (sampel R). Dapat dilihat bahwa semakin besar variasi penambahan Silika ke dalam  $\text{Fe}_3\text{O}_4$  maka ukuran kristal semakin besar. karena pertumbuhannya dibatasi atau dihalangi oleh banyaknya rantai  $\text{SiO}_2$ .

Tabel 2. Ukuran kristal sampel  $\text{Fe}_3\text{O}_4$  dengan variasi penambahan  $\text{SiO}_2$ 

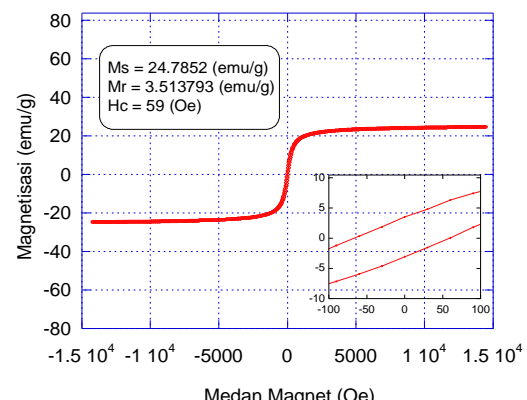
Sampel	$d$ (A)	$a$ (A)	$t$ (nm)
$\text{Fe}_3\text{O}_4$	2,51	8.2	10,34
U (5% SS)	2,52	8.3	11,37
R (20% SS)	2,52	8.3	12,45

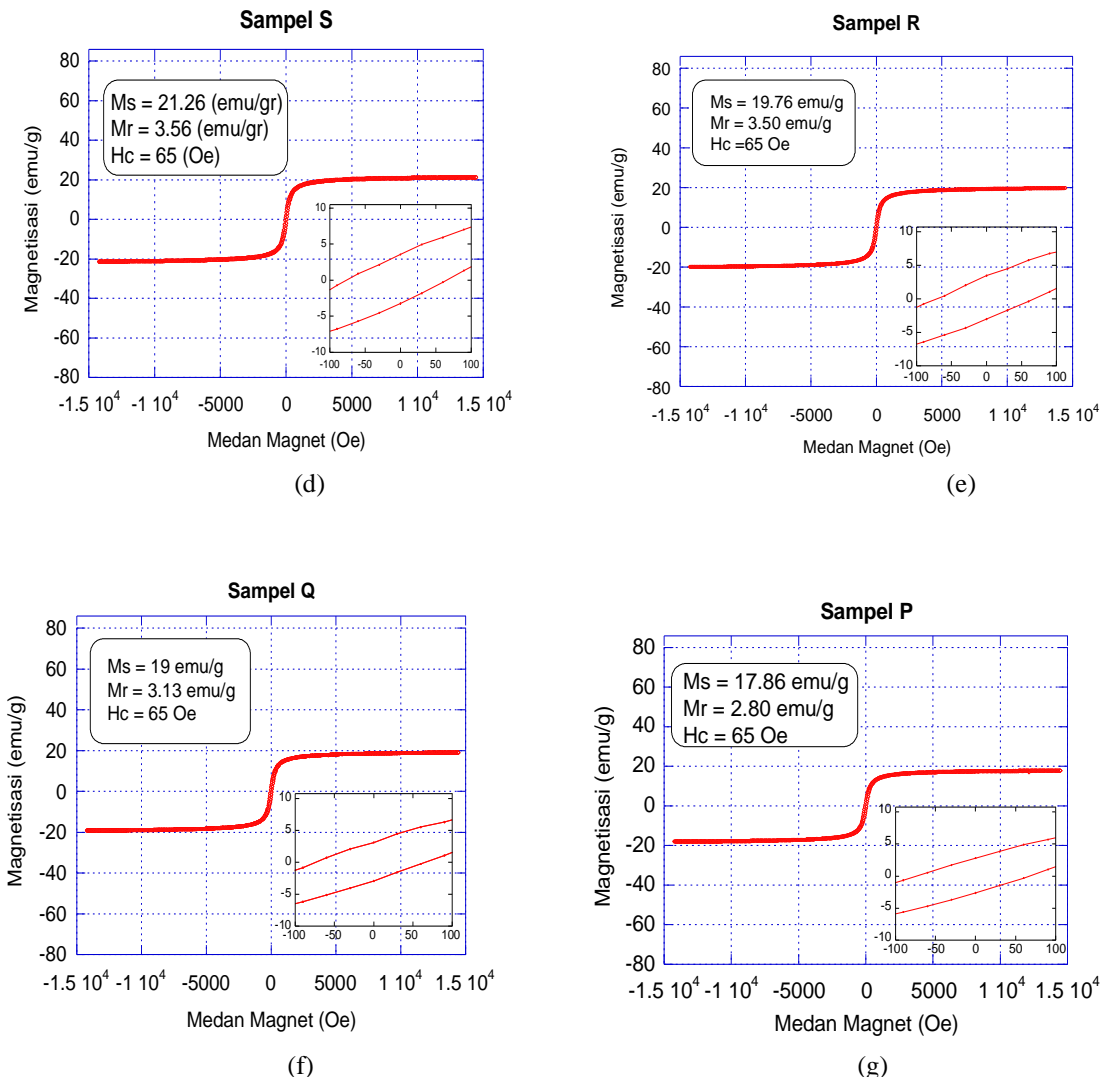
Sampel  $\text{Fe}_3\text{O}_4$ 

Sampel U



Sampel T



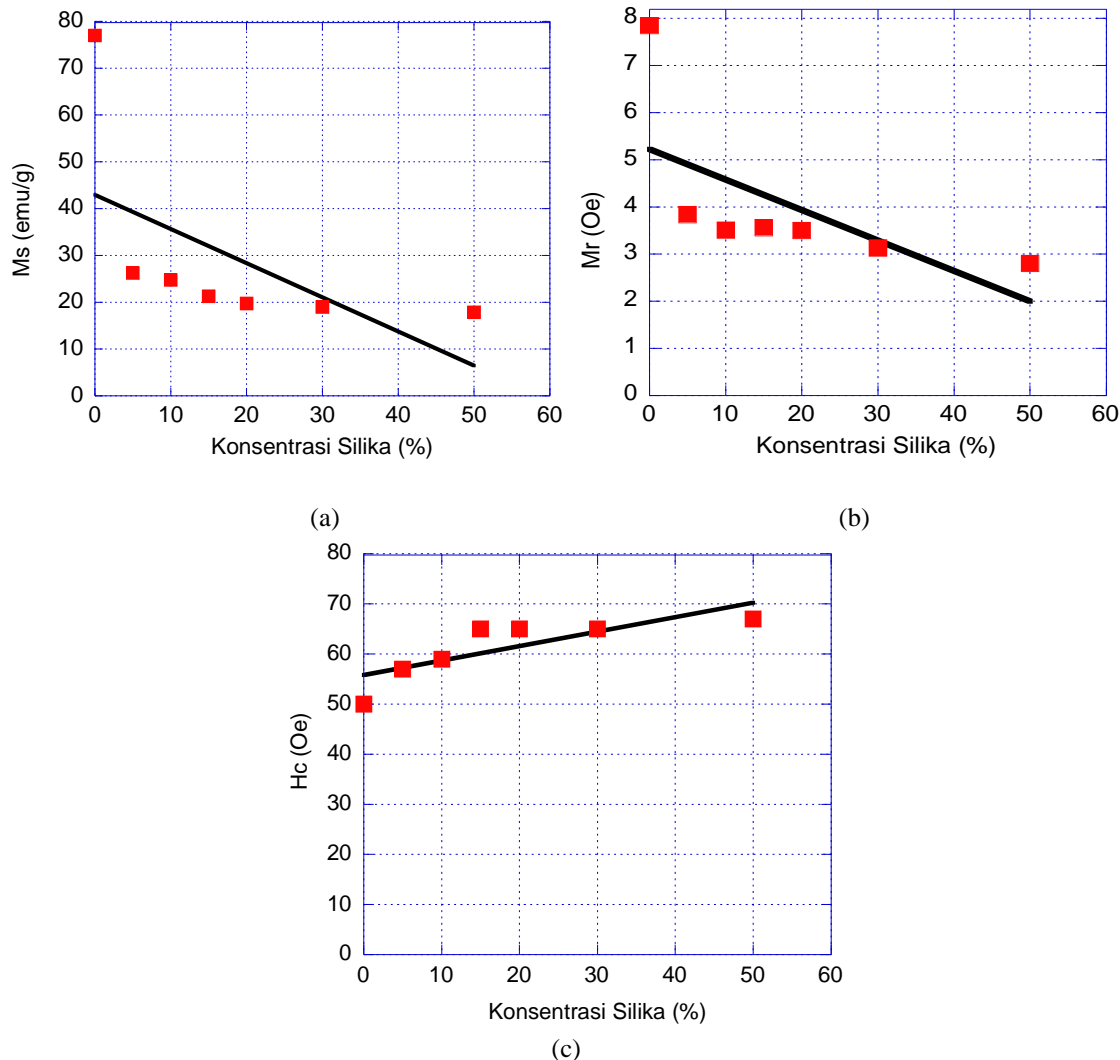


Gambar 3. Kurva hysteresis loop medan magnet vs magnetisasi (a) nanopartikel  $\text{Fe}_3\text{O}_4$ , (b) sampel U ( $\text{Fe}_3\text{O}_4 + \text{SiO}_2$  5%), (c) sampel T ( $\text{Fe}_3\text{O}_4 + \text{SiO}_2$  10%), (d) sampel S ( $\text{Fe}_3\text{O}_4 + \text{SiO}_2$  15%), (e) sampel R  $\text{Fe}_3\text{O}_4 + \text{SiO}_2$  20%), (f) sampel Q ( $\text{Fe}_3\text{O}_4 + \text{SiO}_2$  30%), (g) sampel P ( $\text{Fe}_3\text{O}_4 + \text{SiO}_2$  50%) dengan medan magnet luar 10 emu/g

Analisis sifat magnet dilakukan menggunakan alat VSM. Informasi yang didapatkan berupa besaran-besaran sifat magnetik sebagai akibat perubahan medan magnet luar yang digambarkan dengan kurva histeresis. Kurva histeresis dapat menunjukkan hubungan antara magnetisasi (M) dengan medan magnet luar (H). Besaran-besaran penting dalam menentukan sifat magnetik berdasarkan kurva hysteresis adalah magnetik saturasi ( $M_s$ ), medan koersivitas ( $H_c$ ) dan magnetisasi remanen ( $M_r$ ). Nilai magnetisasi saturasi atau dikenal dengan magnetisasi jenuh menunjukkan kemampuan partikel nano untuk mempertahankan kesearahan domain-domain magnetiknya ketika masih dikenai medan magnet luar. Medan koersivitas merupakan besarnya medan yang dibutuhkan untuk membuat magnetisasinya bernilai nol. Semakin besar nilainya semakin kuat pula sifat kemagnetannya. Sedangkan magnetic remanen ( $M_r$ ) menunjukkan kemampuan bahan ketika diberikan medan luar.

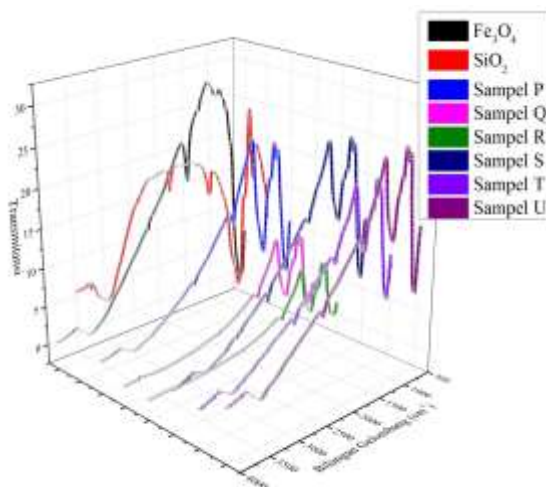
Sifat magnetik dari  $\text{Fe}_3\text{O}_4$  dapat ditunjukkan dari Gambar 2, dengan penambahan konsentrasi  $\text{SiO}_2$  didapatkan nilai magnetisasi saturasi yang beragam ini disebabkan oleh beberapa faktor, yaitu ukuran butir partikel, derajat kristalinitas serta kehadiran fasa pengotor  $\alpha\text{-Fe}_2\text{O}_3$  (*hematite*). Semakin besar penambahan konsentrasi  $\text{SiO}_2$  maka *hysteris loopnya* semakin tegak

dan semakin *softmagnetik*. Pada sampel P dengan penambahan konsentrasi silika yang paling banyak memiliki  $M_s$  paling kecil yaitu 17,86310 dengan  $Mr$  2,801849, dengan  $H_c$  60, sedangkan pada sampel U yang paling sedikit penambahan silika mengalami penurunan nilai  $M_s$  26,2449, ( $H_c$ ) 55, dan  $Mr$  3,841012. Informasi ini memberikan makna bahwa semakin besar konsentrasi  $\text{SiO}_2$  maka semakin besar  $M_s$ , tetapi tidak terlalu signifikan perubahannya. Sifat magnetik semakin lemah, karena semakin besar konsentrasi  $\text{SiO}_2$  yang bersifat sebagai template sehingga ukuran partikel semakin kecil



Gambar 3. Grafik hubungan konsentrasi  $\text{SiO}_2$  dengan (a) Magnetisasi Saturasi ( $M_s$ ), Magnetisasi Remanen ( $Mr$ ), (c) Koersifitas ( $H_c$ )

Pada gambar 3 menunjukkan dengan pengaruh penambahan konsentrasi  $\text{SiO}_2$  terhadap sifat kemagnetan yaitu koersivitas dari  $\text{Fe}_3\text{O}_4$  akan berbanding lurus dengan ukuran nanopartikel magnetik yang bertambah besar. Sedangkan  $Mr$ , dan  $M_s$  semakin kecil, sehingga ketika ukuran nanopartikel semakin besar diprediksi cenderung memiliki multi domain dan energi Barier (energi anistropinya) juga semakin besar. Dalam keadaan seperti itu momen magnet pada nanopartikel akan lebih sulit termagnetisasi oleh medan magnet eksternal dan ketika dimagnetisasi maka koersivitasnya akan cenderung lebih besar dibandingkan pada ukuran nanopartikel yang lebih kecil.



Gambar 4. Perbedaan spektrum FTIR (a) Sampel Fe<sub>3</sub>O<sub>4</sub>, (b) SiO<sub>2</sub>, (c) Sampel P (Fe<sub>3</sub>O<sub>4</sub>+ SiO<sub>2</sub> 50%), (d) Sampel Q (Fe<sub>3</sub>O<sub>4</sub>+ SiO<sub>2</sub> 30%), Sampel R (Fe<sub>3</sub>O<sub>4</sub>+ SiO<sub>2</sub> 20%), (e) Sampel S (Fe<sub>3</sub>O<sub>4</sub>+ SiO<sub>2</sub> 15%), (f) Sampel T (Fe<sub>3</sub>O<sub>4</sub>+ SiO<sub>2</sub> 10%), (g) Sampel U (Fe<sub>3</sub>O<sub>4</sub>+ SiO<sub>2</sub> 5%).

Hasil pengukuran SiO<sub>2</sub> yang ditunjukkan dalam spektrum b, terdapat beberapa puncak dominan yang disebabkan oleh adanya vibrasi ikatan Si-O-Si yaitu 794,67 cm<sup>-1</sup> dan, Si-O-H pada 964,61 cm<sup>-1</sup> yang merupakan jenis ikatan penyusun pada polimer SiO<sub>2</sub>. Puncak pada bilangan gelombang 794,67 cm<sup>-1</sup>. Persentase silika sudah melapisi material magnetik ditunjukkan pada bilangan 570-670 cm<sup>-1</sup> yaitu untuk gugus fungsi Si-O-Si (bending) Kemudian puncak pada bilangan gelombang 894,97 cm<sup>-1</sup> berasal dari vibrasi stretching ikatan C-H asimetris. Puncak pada bilangan gelombang 1635.64 cm<sup>-1</sup> dan 1465.90 cm<sup>-1</sup> merupakan puncak yang diakibatkan oleh adanya vibrasi ikatan H-C-H. Beberapa puncak serapan dengan bilangan gelombang 1342.46 cm<sup>-1</sup>, 1280.73 cm<sup>-1</sup>, dan 1242.16 cm<sup>-1</sup> diakibatkan oleh adanya vibrasi ikatan C-O<sup>9</sup>. Selanjutnya, puncak serapan pada bilangan gelombang 1103.28 cm<sup>-1</sup> diakibatkan oleh adanya vibrasi stretching ikatan C-O-C dan vibrasi ikatan C-C muncul pada bilangan gelombang 2337,72 cm<sup>-1</sup>, 956.69 cm<sup>-1</sup>, dan 840.96 cm<sup>-1</sup>.

## KESIMPULAN

Pembuatan nanopartikel Fe<sub>3</sub>O<sub>4</sub> menghasilkan ukuran partikel sebesar 10,23 nm, dengan penambahan SiO<sub>2</sub> 20 % dan 5 % mengalami peningkatan sebesar 11,4 nm dan 12,5 nm. Selain itu penambahan variasi silika tidak menimbulkan fasa baru sehingga berfungsi sebagai template. magnetisasi saturasi dan magnetisasi remanen meningkat dengan semakin banyaknya konsentrasi SiO<sub>2</sub> sedangkan medan koersivitas menurun.

## DAFTAR PUSTAKA

1. Saoud, F., 2010, Superparamagnetic nanoparticles for synthesis and purification of polymers prepared via Controlled/ “Living” Radical Polymerization
2. He, Kai, Cheng-Yan Xu, Laing Zhen, en-ZhuShao. (2007). Hydrothermal Synthesis and Characterization of singlecrystalline Fe<sub>3</sub>O<sub>4</sub> Nanowires with High Aspect Ratio and Uniformity. *Materials Letters*, volume 61. (CLRP), *Ph.D. dissertation*, University of Stellenbosch, South Africa.
3. Aiguo, Yan. (2008). Solvothermal synthesisand characterization of size-controlledFe3O4 nanoparticles , *Journal Alloys and Compound* 458 : 487 – 491.
4. Callister, Jr, William D. (2007). *Materials Science and Engineering An Introduction Seven Edition* , John Wiley and Sons, Inc, United States of America.
5. Cornell R.M. and Schwertmann, 2003, *The Iron Oxides*, Wiley-VCH GmbH & Co.KGaA.

6. Riyanto, A., 2012, Sintesis nanopartikel Fe<sub>3</sub>O<sub>4</sub> (Magnetit) dan potensinya sebagai material aktif pada permukaan sensing biosensor berbasis Surface Plasmon
7. Kittel, C. (1996). *Introduction to Solid State Physics*. John Willey & Sons, Inc : New York
- Resonance (SPR), *Thesis*, Universitas Gadjah Mada, Yogyakarta.
8. Loh, K., Lee, Y.K., Musa, A., Salmah, A.A., dan Zamri, I., 2008, Use of Fe<sub>3</sub>O<sub>4</sub> for Anhancement of Biosensor Respon to the Herbicide 2,4-Dichlorophenoxyacetic Acid, *Sensor*, 8, 5775-5791.
9. Coey, J.M.D., 2009, *Magnetism and Magnetic Materials*, United States of America, Cambridge University Press